

(21) 塑性域におけるロックボルトの効果

京都大学工学部 畠 昭治郎
 ○谷 本 親 伯
 " 西 原 晃
 " 刈 谷 敬 三

1. はじめに

トンネル掘削によって生ずる空洞周辺の応力変化とロックボルト、吹付けコンクリート、鋼管アーチなどの支保工の相互作用は、支保工の作用効果と壁面に作用する等価な内圧に置き換えると、塑性域(U_p)、壁面変位(U_w)、壁面近傍の塑性ひずみ(ϵ_p)の相互の関係が明瞭となり、三軸試験あるいは剛性一軸試験などで得られた応力・ひずみ曲線から許容塑性ひずみ量を決定すれば、必要な支保工の耐力が算定できることをすでに示した。^{1), 2)}同時に、施工管理に必要なコンバージェンスについても地盤内応力や U_p , ϵ_p の変化と容易に連絡づける方法を提案している。しかしながら、ロックボルトの作用効果については、十分に解明されたとは言えず、設計方法についても施工経験から判断して処理されることが多い。筆者らは、全面接着式ロックボルトに関する、弾塑性体・塑性体内への作用効果を考察し、ひずみ軟化現象の著しい北陸地方の泥岩中のトンネルで得た計測データの考察を行った。その中で、軸方向にひずみゲージを貼付したロックボルトの挙動を解説する上でのつかの知見を得たので、これを報告する。

2. 完全弾塑性モデルとひずみ軟化モデルにより得られた結果の相違

ケーランの简化条件を採用する場合の完全弾塑性モデル(P-Model)およびひずみ軟化モデル(S-Model)により得られた U_p , U_w , ϵ_p の算出式は前記の文献に報告したが、著しく低い地山強度比を有する場合、P-Modelでは現場で得た諸現象に対応する適当な結果が得られず、またロックボルトの軸力の最大値を示す位置が弾塑性境界とせずとも一致しないことが判明した。以下、数値解析により説明(2)みよう。

静水圧的初期応力状態($P_0 = 20 \text{ kg/cm}^2$)を有する地山に直徑 10 m の円形トンネルを掘削するものとし、地山の物理がそれされ $E = 2000 \text{ kg/cm}^2$, $V = 0.3$, 一軸圧縮強度 $q_u = 10 \text{ kg/cm}^2$, $\phi = 20^\circ$, ひずみ軟化挙動の直の変形係数 $\omega = 0.4 E$, 截荷(-軸圧縮)強度 $q_u' = 2 \text{ kg/cm}^2$, 截荷内部摩擦角 $\phi' = 10^\circ$ とする場合(図-1実線)に対する塑性領域は、図-2 に示す様

であり、P-と S-Model とはかなり異ることわかる。また、P-Model による解析では、中の選択方により大きな相違が生ずる。

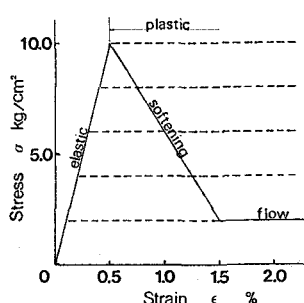


図-1 応力・ひずみ曲線

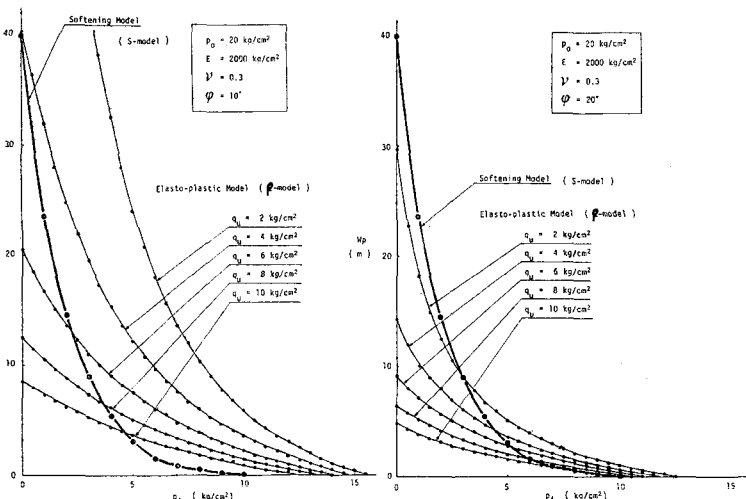


図-2 弾塑性モデルとひずみ軟化モデルによる塑性域の相違

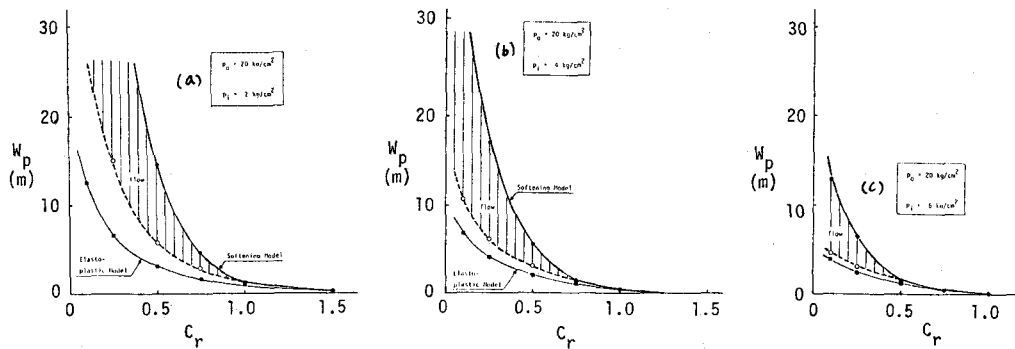


図-3 p_i の違いによる W_p と地山強度比の関係

ることも分かるであろう。地山強度比 C_f ($= \gamma_u / p_0$) をパラメータとして、支保工効果 (p_i) をいくつか変化させ、 W_p の違いを検討すると、図-3のようになる。ひずみ軟化現象を示す地山材料に対してはS-Modelを使用した方が良いが、 C_f 、 p_i のわずかな変化が W_p に大きく影響すること分かるであろう。同条件下でさらに詳しく解析を進めたところ、流動域の発生条件について図-4のような結果を得た。すなわち、トンネルの安定度に大いに影響する流動域の発生を抑止するには常に支保工の耐荷力 (p_i) と初期応力 (p_0) および地山強度 (γ_u) との関係がある。たとえば、 $C_f = 1.0$ の場合は、 $p_i \geq 0.2 p_0$ で流動域は発生しない。また、 $C_f = 0.5$ の場合は、所要 $p_i \geq 0.6 p_0$ となり、切羽による半ドーム作用の変化を考えると、掘削後ただちに、出来ただけの洞内近くに支保工を施さねば不安定になると示してある。膨張性泥岩と称せられた地山の挙動を観察するとSwellingよりもSqueezingが主たる原因と考えられるが、地山強度比の変化から施工時の膨張挙動を観察してみると、うまく説明がつくようである。(例えば、北越北線鍋立山トンネルの場合) したがって、類似の条件下で図-4の白い部分(Flow Zone)に該当する場合は、ひずみ軟化モデルを使用して解析を行なう必要がある。

3. 塑性域におけるロックボルトの挙動

切羽の進行に伴う半ドーム作用の変化は、図-5に示すように切羽面に近づくほど著しく、これに対応して支保工を行なうことがトンネル掘進の要である。切羽より1m後方では、半ドーム作用による p_i は 6 kN/cm^2 で、2m後方では 4 kN/cm^2 に減少する。この 2 kN/cm^2 の p_i の変化により、塑性域は1.6mから6mに増加する。わかつての現場では、2~3m長のロックボルトが多用され、5m以上の長いものは少なく、打設時は弾性域に定着されていたボルトも切羽の進行や他の支保工の作用の程度により、全長が塑性域に含まれてしまうことも考えられる。そこで、切羽面より1m以内に、すなわち周囲の岩盤にはひずみ軟化域は発生していないか流動域または生じているか状態で打設されたシステムボルトと、切羽面より1~2mの範囲で、すなわち、すでに流動域が発生しているか状態で打設されたシステムボルトに作用する軸力およびせん断力の分布状態をロックボルトの長さを種々変化させて検討した。計算方法は、文献(1), (2)で述べた計算式を用いて得られた応力増分を岩盤とロックボルトを同時に扱ったFEMモデルに入力したものである。ここに述べる解析結果は、接着剤は地山と同じ物性を有し、完全に密着していなかったと地山間に隙間がありかないものとして求めたものである。

図-6 (a), (b) は、その結果で $\phi 25$, 1~8m長のロックボルトを使用し、それぞれの条件は次のとおり。

(a) $W_p = 1.58 \text{ m}$ (流動域なし) に対し、 1 bolt/m^2 で設置。応力増分は、 $p_i = 6 \text{ kN/cm}^2$ から 5 kN/cm^2 の間。

(b) $W_p = 3.13 \text{ m}$ (流動域 0.74 m) に対し、 1 bolt/m^2

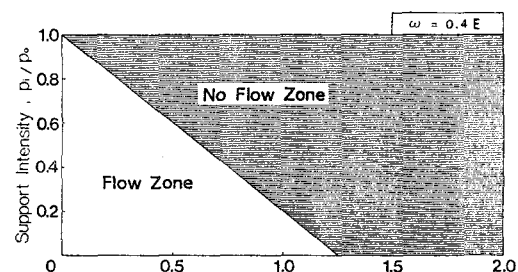


図-4 流動域発生条件 ($w = 0.4E$ の場合)

が設置。応力増分は、 $p_i = 5 \text{ kg/cm}^2$ から 4 kg/cm^2 の間。

全面接着されたボルトと岩盤の相互作用を考察してみると、壁面に近い程岩盤の変位は大きいたり、岩盤はボルトを引き抜くように作用し、ボルトの奥の部分は、他の周囲の岩盤を壁面に向って引き寄せようとする。すなわち、ボルトにはボルトのある断面を境界にして互いに向きが反対のせん断力が働く。そこで、これらをボルトの作用区間 (pick up length) と定着区間 (anchor length) とに区別する。ロックボルトに作用するせん断力は、軸力を微分した形で与えられ、³⁾ 軸力の最大値を示す断面は、作用区間と定着区間の境界を示すことになる。図-6(a)によれば、軟化域のみに設置されたボルトは、作用区間と定着区間では等しくボルト中央部で軸力のピークを示し、その値は長さにはほぼ比例している。軟化域を省き、弾性域まで達するボルトは塑性域幅 (1.58 m) の2倍以上の長さを持つ場合、ピーク値は変化せず、定着区間が長くなるだけでピークを示す断面位置と弾性・塑性域境界が一致する。したがって、軸力分布のモードとしては、ボルトの中央部にピークを有する型 (A型) と定着区間が作用区間より長くなる比較的単純な山型 (B型) の2種が認められる。一方、図-6(b)では、岩盤には、流動域・軟化域および弾性域の3相が存在しており、流動域幅より短かいボルトは、(1)はボルトの中央部で軸力のピークが現われ、その値は、弾性域まで達するボルトの $1/10$ 以下である。流動域および軟化域にわたるボルトの軸力分布は、流動域・軟化域の境界で変曲点を示し、ピークの位置がより奥になり、定着区間が作用区間に比べてかなり短くなる。定着区間が作用区間より長くなるのは、塑性域幅の2倍以上の長さを持つ場合であり、軸力のピークを示す断面位置はやはり軟化域・弾性域の境界と一致している。軸力分布のモードとしては、流動域のみに設置され、中央部にピークが現われた型 (C型)、変曲点を持ち定着区間が作用区間より短い型 (D型) および定着区間が長くなる型 (E型) に分類できよう。

次に、切羽の進行により生ずる応力増分に対する岩盤変位に着目すると、図-7のようである。計算条件は既述の(a)に対応している。条件(a)は切羽より 1 m 後方の断面に関するもので、ロックボルトを設置した後、切羽が 0.5 m 進行した場合に生ずる変位とロックボルト長さとの関係を示すものである。切羽の進行は、わざか 0.5 m であるが、この断面に対して切羽の及ぼす半ドーム作用は、 6 kg/cm^2 から 5 kg/cm^2 に変化する。 $(\alpha = -1 \text{ kg/cm}^2 \text{ の変化})$ ロックボルトの設置により壁面近傍の変位は減少し、弾性域に達せずに 1 m のロックボルトであるにも、

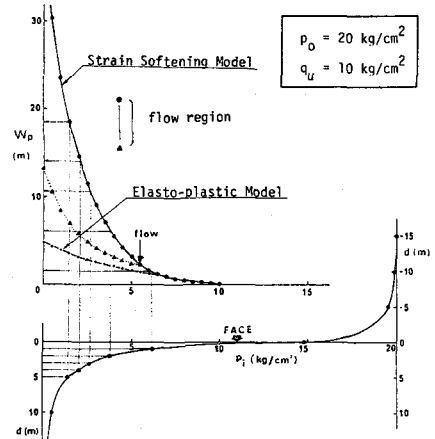
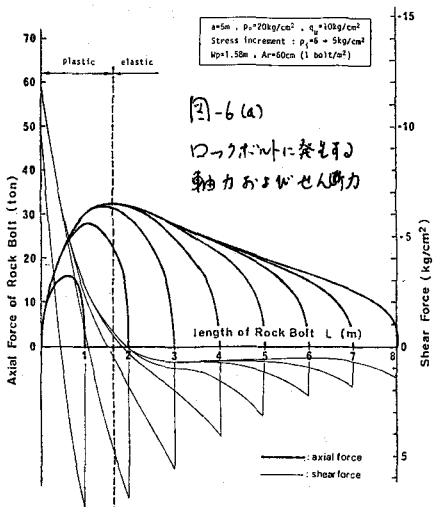
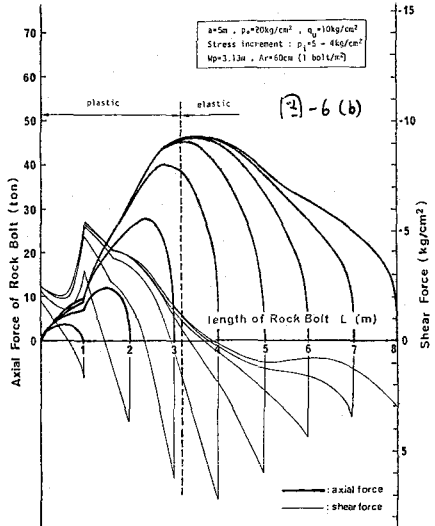


図-5 半ドーム作用と塑性域の変化



(2)-6 (a)
ロックボルトに発生する
軸力およびせん断力



(2)-6 (b)

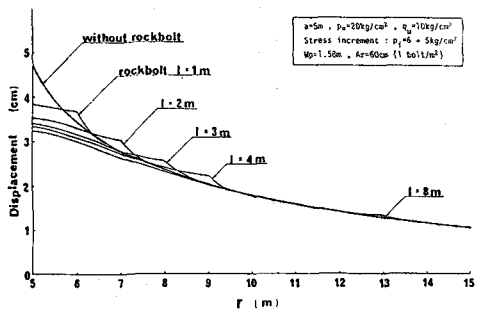


図-7 ロックボルトによる変位の減少状態

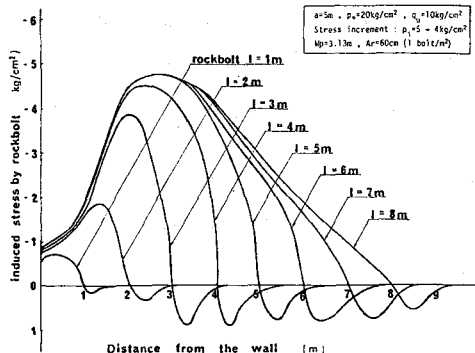


図-8 ロックボルトにより岩盤内に誘起される応力

20~30%の変位を減少させている。ロックボルト長が2倍を越えると、変位の減少量は変わらない。また、種々の長さのロックボルトにより、岩盤内に誘起される圧縮応力を、図-8に示すようであり、軸力のピーク値や変位と同様、ロックボルト長が2倍以上の場合は、ほとんど一定となる。

さらに検討せねばならないことは、ボルトに発生する軸力の値である。この解析に使用したボルトの耐力は20tであり、また地山とボルトとは完全に密着していると仮定しているので、たとえば図-6(a)における軸力のピーク値は、1m長の場合で降り、この耐力を越えるボルトは破壊することになる。地山の変形量が多い場合はロックボルト長を塑性域内にとじめ、発生する軸力を耐力以下に抑えうる考え方も有効となる。図-6のせん断力の分布からも推定できるように、その最大ピークの絶対値は壁面に近づくほど、ロックボルトと地山とのボンドが切離され、ボルトの頭部は近づいてアーリングフレートを介して部分的に締付け式ボルトの作用状態となり、軸力のピーク値は減少して壁面からフラットな力学状態を呈することがある。測定値にもこの様な傾向が認められる。しかしながら、塑性域幅より短かいロックボルトの効果は、その長さの程度により大きく変化し、不安定と考えられ、子た走行能力も減少するので、一定の効果を發揮させるためには塑性域まで達しない必要がある。1.5Wp以上の長さが適当と考えられる。

4. 結論

(1) 地山強度比が1以下となるような地山の挙動については、ピーク強度後の強度劣化(ひずみ軟化)現象を考慮しないと、塑性域等について適切な道を得ることが困難である。

(2) ロックボルトに発生する軸力分布のピークは、ロックボルトの作用区間と定着区間の境界と示してあるがこれが彈塑性境界を示すのは、定着区間が作用区間より長い場合である。したがって、彈塑性境界を確定する計算用ボルトは十分に長くなりなければならない。

(3) 弹性域まで達しないボルトである効果があるが、一定の作用効果を期待するためには塑性域の1.5倍以上の長さが必要である。また、全面接着式ボルトでは、塑性域幅の2倍以上の長さのものは、効果が変わらないのが不適当である。したがって、システムロックボルトの最適長は塑性域の1.5~2.0倍の範囲にありと考えられる。ただし、岩盤の変形量の程度を十分に判断して決定する必要がある。

文献

- 1)島・石井・木村:トンネル切羽周辺の岩盤の変形とロックボルトの作用効果, 12回岩盤力学シンポ. 土木学会(1979),
- 2)島・石井・西原・木村:北陸地方の岩盤中のトンネルにおけるロックボルトと吹付セメントコンクリートの設計, 13回道路会議・特設講演論文(1979),
- 3)I. Farmer: Stress Distribution along a Resin Grouted Rock Anchor, Int. J. Rock Mech. Min. Sci. & Geomech. Vol. 12, pp.347-351(1975)

THE BEHAVIOR OF ROCKBOLTS FULLY BONDED
THROUGH THE PLASTIC ZONE

by Shojiro HATA, Chikaosa TANIMOTO,
Akira NISHIHARA and Keizo KARIYA
Dept. of Civil Engineering, Kyoto University

SUMMARY

Recently the application of rockbolts has been developed as the prime support, and it is very important to know the interaction between rock and rockbolt through plastic zone. In practical tunnelling through soft rock whose competence factor becomes quite low such as below 1.0, so called expansive behavior happens and gives difficulty in supporting, and it is considered that this expansion of the ground is caused mainly by squeezing. So, analytical model for the calculation of plastic zone should be considered of strain softening behavior of the rock around the opening.

The correlation among the width of plastic zone, the displacement of the wall and plastic strain near the wall can be expressed plainly by substituting equivalent inner force, acting onto the wall, for bearing force which steel ribs, systematic rockbolts and/or shotcrete lining give in the vicinity of mining face. Also, the decrease of the half dome action, being associated with the advance of the face, can be expressed by the introduction of dragging force acting on the wall.

Being based on these relationships, axial force and shearing force acting on the fully bonded bolt can be calculated by giving the stress increment, obtained by strain softening model, which causes between setting time of rockbolts and steady state far from the face, to FEM-model.

Consequently, the following results are obtained.

- (1) In designing rockbolt system, the competence factor of the ground and the bearing capacity of the support are main parameters. It is confirmed by the numerical analysis that the width of plastic zone, having tight relationship with the stability of an opening, shows big difference in the case of low competence factor such as below 1.0 even if bearing capacity varies a little.
- (2) When the distribution of axial force along the rockbolt is measured, the cross section showing peak value does not always agree with the elastic-plastic boundary, but it does only when the anchoring length of a rockbolt is longer than the pickup length. And these lengths can be measured by applying a long rockbolt reaching beyond the double distance of plastic zone to be presumed.
- (3) Though even the rockbolt whose end does not reach to elastic zone shows some effect, the optimum size of systematic rockbolts is considered to be 1.5 - 2.0 times longer than the width of plastic zone in order to obtain steady effect as the permanent support.